

Международная конференция «XIX научная школа "Нелинейные волны – 2020"»

Методы вариационной ассимиляции данных в моделях геофизической гидродинамики

Залесный В.Б., Пармузин Е.И.

Институт вычислительной математики им. Г.И. Марчука
Российской академии наук

4.03.2020

Краткое содержание доклада

- 1 Исторические сведения и практические идеи ассимиляции
- 2 Общая постановка задачи
- 3 Обзор методов ассимиляции
 - Объективный анализ
 - Метод подгонки
 - Оптимальная интерполяция
 - Фильтры Калмана
- 4 Вариационная ассимиляция данных
 - Модель гидротермодинамики моря
 - Постановка задачи вариационной ассимиляции
 - Система оптимальности и сопряженные уравнения
 - Особенности реализации алгоритма
- 5 Применение вариационной ассимиляции для решения задач гидротермодинамики
 - Мировой океан
 - Черное море
 - Балтийское море

*Посвящается 95-летию Г.И. Марчука
и
40-летию Института вычислительной математики им. Г.И. Марчука
РАН*



В.П. Дымников, В.Б. Залесный

**ОСНОВЫ
ВЫЧИСЛИТЕЛЬНОЙ
ГЕОФИЗИЧЕСКОЙ
ГИДРОДИНАМИКИ**



Издано при финансовой поддержке РФФИ, проект 19-15-00019

Admiral Fitzroy, XIX: субъективный анализ погоды в конкретный момент времени.

Richardson, 1922: численный прогноз погоды, используя уравнения движения атмосферы.

Charney, 1950: эксперимент Ричардсона на первом компьютере.

Charney, 1955: предложил лучшую оценку начального состояния, используя нелинейные уравнения состояния.

Phillips, 1960: исследовал проблему шума при инициализации.

Впоследствии объективный анализ заменил ручную графическую интерполяцию данных наблюдений более строгими математическими методами, начиная с полиномиальной интерполяции, последовательных алгоритмов оценивания и заканчивая современными вариационными методами.

В инженерной литературе: (Bucy and Joseph, 1987; Gelb, 1974; Jazwinski, 1970)

в математической: (Lions, 1968; Марчук Г.И., 1995; Gill et al, 1987)

в геофизической литературе: (Bennet, 1992; Daley, 1991; Ghil and Malanotte-Rizzoli, 1991; Kalnay, 2003)

VII международный симпозиум ВМО по ассимиляции данных наблюдений в метеорологии и океанографии (Бразилия, сентябрь 2017г.: <http://www.cptec.inpe.br/das2017/>) показал существенный прогресс в практическом применении современных методов усвоения, основанных как на подходе оптимального управления (вариационной ассимиляции данных), так и на подходе последовательного оценивания (статистические методы), а также на комбинации обоих подходов (гибридный метод).

Рассмотрим математическую модель, описывающую эволюцию гидродинамической системы в виде

$$\begin{cases} \frac{dx}{dt} = M(x, t), & t > 0 \\ x|_{t=0} = x_0, \end{cases} \quad (1)$$

где x – вектор состояния модели, M – динамический оператор модели, x_0 – вектор начального состояния. При численном моделировании или прогнозе динамический оператор M в общем случае нелинейный и детерминированный, в то время как истинное поле отличается от модельного на случайную или систематическую ошибку.

Как правило, в геофизической гидродинамике (1) есть система нелинейных дифференциальных уравнений в частных производных, которую в математической литературе часто называют системой с распределенными параметрами. Зависимую переменную x называют “полем”.

Наблюдения задаются некоторой вектор-функцией $y^0(t)$, которая удовлетворяет уравнению

$$y^0(t) = H(x^t, t) + \varepsilon, \quad (2)$$

где H – оператор наблюдений, x^t – истинное поле, ε – функция ошибки (шум). Функция $y^0(t)$ считается заданной, в то время как информация о ε , как правило, отсутствует. Оператор H , так же как M , может быть нелинейным, а также зависеть в общем случае от вектора состояния x . Он задает отображение вектора состояния в пространство наблюдений.

При дискретизации непрерывной модели по времени часто приходят к дискретной модели, описывающей переход от момента времени t_i в момент t_{i+1} :

$$x(t_{i+1}) = M_i(x(t_i)), \quad (3)$$

где $x(t_i)$ - вектор состояния размерности n , i - номер шага по времени, M_i - разностный оператор перехода со слоя на слой. При рассмотрении дискретной модели наблюдения y^0 в момент времени t_i задаются уравнением

$$y_i^0 = H_i(x^t(t_i)) + \varepsilon_i, \quad (4)$$

где H_i - оператор наблюдений в момент времени $t = t_i$, x^t - истинное поле течений, ε_i - функция ошибки. Векторы y_i^0 имеют размерности p_i . В большинстве практических задач p_i много меньше n .

Задача об усвоении данных

Для предсказания эволюции течений в задачах геофизической гидродинамики требуется дополнительная информация о модели (например, начальные условия, неизвестные параметры модели). Эту информацию можно получить с помощью данных наблюдений.

Задача об усвоении данных: при заданной функции наблюдений $y^0(t)$ требуется найти неизвестные параметры модели (например, начальное условие), так, чтобы вектор состояния x удовлетворял исходной непрерывной задаче, а вектор $H(x)$ был близок в каком-либо смысле к $y^0(t)$.

Найденное в результате решение x называется оценкой состояния и обозначается x^a .

Первая попытка объективного анализа данных была выполнена Пановски ([Panosky, 1949](#)). Суть его метода – двумерная (2-D) полиномиальная интерполяция данных наблюдений ([Кибель, 1949](#)). В дальнейшем этот подход был развит Гилкристом и Крессманом ([Gilchrist and Cressman, 1954](#)), которые ввели область влияния для каждого наблюдения и предложили использовать так называемое поле “бэкграунда” (поле из предыдущего прогноза).

В подходе Бергторссона и Дуза ([Bergthorsson and Doos, 1955](#)) поле “бэкграунда” играет более важную роль – их методика усвоения основана на анализе разности данных наблюдений и “бэкграунда”, а не самих значений функции наблюдений. Они попытались оптимизировать веса, приписанные каждому наблюдению.

Впоследствии модификация этого подхода была дана Крессманом ([Cressman, 1959](#)) и состояла в нескольких итерациях анализа – так называемый *метод последовательных поправок*, или SCM-метод (Successive Correction Method).

Обобщения: метод подгонки (Nudging)

В метеорологии: (Hoke, Anthen, 1976).

В океанографии: (Verron, 1990; Blayo et al, 1994).

BFN-алгоритм (back and forth nudging): (Blum, Auroux, 2005).

Основная идея:

$$\begin{cases} \frac{dx}{dt} = M(x, t) + K(y^0 - H(x)), & t \in (0, T) \\ x|_{t=0} = x_0, \end{cases} \quad (5)$$

где K – весовой оператор (nudging or gain matrix).

Этот подход восходит к Колмогорову (Колмогоров А.Н., 1941), работам Винера (Wiener, 1949), а в науках о Земле он стал известен благодаря монографии Гандина (Гандин Л.С., 1963). Такой подход обычно называют *оптимальной интерполяцией* (OI – Optimal Interpolation) (Lorenz, 1981; McPherson et al, 1979). Наблюдениям присваивают веса, которые связаны с ошибками наблюдений. В тоже время поле “бэкграунда” не является первым приближением для анализа, как ранее, а вместо этого оно является дополнительным полезным источником информации вместе со своей характеристикой ошибки.

Метод оптимальной интерполяции применялся во многих оперативных центрах, начиная с конца 1970-х годов (ECMWF, Lorenc, 1981; Met Office, Lyne et al., 1982). В дальнейшем этот метод получил развитие в работах Лоренца (Lorenc, 1986; Lorenc et al., 1991), который использовал различные аппроксимации для решения уравнений состояния. Лоренц (Lorenc et al., 1991) предложил “гибрид” двух методов – оптимальной интерполяции и последовательных поправок. Метод оптимальной интерполяции и его модификации до настоящего времени наиболее широко используются для оперативного анализа данных при предсказании погоды (Lorenc, 1986; Thiebaux and Pedder 1987; Douville et al., 2000), а также при ассимиляции океанографических данных (Carton and Hackert, 1989; Derber and Rosati, 1989; Smith, Cummings, 2012). Большую популярность приобрел метод ансамблевой оптимальной интерполяции (EnOI) (Evensen, 2003; Sakov et al., 2015), который позволяет построить параллельные алгоритмы усвоения данных (Кауркин М.Н., Ибраев Р.А., Беляев К.П., 2016).

Фильтр Калмана и его обобщения

Статистический метод ассимиляции был предложен Калманом в 1960 г., который и стали называть *фильтром Калмана*. Непрерывный аналог данного метода называют фильтром Калмана-Бьюси (*Kalman and Bucy, 1961*). Существуют различные обобщения этого метода на нелинейный случай (*Jazwinski, 1970*). В настоящее время большим успехом пользуется *расширенный фильтр Калмана* – метод *EKF* (*extended Kalman filter*) (*Ghil et al, 1982; Budgell, 1986*), который использует линеаризацию модели около некоторого состояния, а также *ансамблевый фильтр Калмана* – метод *EnKF* (*ensemble Kalman filter*) (*Evensen, 2003, 2007; Kalnay et al., 2007; Fertig et al., 2007; Zhang et al., 2009*). Многоэлементный четырехмерный анализ гидрофизических полей на основе динамико-стохастических моделей разрабатывался в МГИ (*Саркисян А.С., Кныш В.В., Демышев С.Г., Коротаев Г.К., 1986, 1987*). Модификации алгоритма Калмана на основе аппроксимаций ковариационных матриц использовались при моделировании циркуляции Черного моря (*Кныш В.В., Коротаев Г.К., Мизюк А.И., Саркисян А.С., 2012*).

Значительным прорывом в решении задач усвоения данных было применение вариационных методов и, в частности, методов оптимального управления. Очень плодотворной оказалась идея минимизировать некоторый функционал, связанный с данными наблюдений, на траекториях (решениях) рассматриваемой модели. Тем самым, задача об усвоении данных формулируется как задача оптимального управления. Теоретические основы исследования и решения таких задач заложены в классических работах (Р. Беллман, 1957; Л.С. Понтрягин, 1962; Н.Н. Красовский, 1969; Ж.-Л. Лионс, 1968; Г.И. Марчук, 1975).

Впервые вариационный формализм был использован в метеорологии Сасаки (Sasaki, 1970), а в задачах динамической океанографии – Прово и Сальмоном (Provost and Salmon, 1986).

Как известно, при решении задач минимизации возникает необходимость вычислять градиент исходного функционала. Важным шагом в этом направлении было использование теории сопряженных уравнений (Марчук, 1964; Лионс, 1968). Начиная с известных работ (Марчук Г.И., Пененко В.В., 1978; Le Dimet and Talagrand, 1986; Lewis and Derber, 1985), применение сопряженных уравнений для исследования и численного решения задач об усвоения данных (в том числе для вычисления градиента функционала) широко практикуется многими исследователями (Courier and Talagrand, 1987; Lorenc, 1988; Navon, 1986; Агошков В.И., Марчук Г.И., 1993; Марчук Г.И., Залесный В.Б., 1993; Венцель М., Залесный В.Б., 1996; Шутяев В.П., 2001; Агошков В.И., Пармузин Е.И., Шутяев В.П., 2008, 2013, и др.).

Первые применения трехмерного вариационного усвоения данных (3D-VAR) для операционного анализа были сделаны в Национальном Центре предсказаний NCEP ([Parrish and Derber, 1992](#)), а позднее в Европейском Центре прогноза погоды ECMWF и NASA Data Assimilation Office ([Cohn et al, 1998](#)).

В настоящее время все больший интерес вызывает четырехмерное усвоение данных (4D-VAR), при котором линейризованные модели и сопряженные к ним используются для ассимиляции данных наблюдений не в конкретный момент времени, а на заданном временном интервале. Впервые система 4D-VAR была применена в Европейском Центре прогноза погоды ([Courtier et al, 1994](#)).

Задачи об усвоении данных, решаемые как задачи оптимального управления

- Задача о восстановлении начального условия – задача инициализации: $dx/dt = M(x, t), \quad x|_{t=0} = u, \quad \inf_u J(x, u)$

Задачи об усвоении данных, решаемые как задачи оптимального управления

- Задача о восстановлении начального условия – задача инициализации: $dx/dt = M(x, t), \quad x|_{t=0} = u, \quad \inf_u J(x, u)$
- Задача о восстановлении или уточнении правой части: $dx/dt = M(x, t) + f, \quad \inf_f J(x, f)$

Задачи об усвоении данных, решаемые как задачи оптимального управления

- Задача о восстановлении начального условия – задача инициализации: $dx/dt = M(x, t), \quad x|_{t=0} = u, \quad \inf_u J(x, u)$
- Задача о восстановлении или уточнении правой части: $dx/dt = M(x, t) + f, \quad \inf_f J(x, f)$
- Задача об уточнении граничных условий: $dx/dt = M(x, t), \quad x|_{\partial\Omega} = u, \quad \inf_u J(x, u)$

Задачи об усвоении данных, решаемые как задачи оптимального управления

- Задача о восстановлении начального условия – задача инициализации: $dx/dt = M(x, t), \quad x|_{t=0} = u, \quad \inf_u J(x, u)$
- Задача о восстановлении или уточнении правой части: $dx/dt = M(x, t) + f, \quad \inf_f J(x, f)$
- Задача об уточнении граничных условий: $dx/dt = M(x, t), \quad x|_{\partial\Omega} = u, \quad \inf_u J(x, u)$
- Задача о восстановлении параметров модели: $dx/dt = \mu_1 M_1(x, t) + \nu M_2(x, t), \quad \inf_\mu J(x, \mu)$

4D-VAR: Постановка задачи

Рассмотрим задачу на интервале $(0, T)$:

$$\begin{cases} \frac{dx}{dt} = M(x, t), & t \in (0, T) \\ x|_{t=0} = x_0 \end{cases} \quad (6)$$

и введем функционал от ее решения:

$$J(x_0) = \frac{1}{2} \left(C_1 (x_0 - x_0^b), x_0 - x_0^b \right) + \frac{1}{2} \int_0^T (C_2 (Hx - y^0), Hx - y^0) dt,$$

где H – (линейный) оператор наблюдений, y^0 – функция наблюдений, x_0^b – заданный вектор, C_1, C_2 – весовые операторы, (\cdot, \cdot) – скалярное произведение. Как правило, C_1, C_2 выбираются в виде: $C_1 = B^{-1}$, $C_2 = R^{-1}$, где B, R – ковариационные матрицы векторов $\xi = x_0^b - x^t|_{t=0}$ и ε , соответственно: $B = E(\xi\xi^T)$, $R = E(\varepsilon\varepsilon^T)$. Такие весовые операторы (или их приближения) часто выбираются в практических задачах (Ghil and Malanotte–Rizzoli, 1991; Ide et al, 1997).

Задача вариационного усвоения данных

Предположим, что начальное условие x_0 нам неизвестно. Тогда *задача об усвоении данных* формулируется следующим образом: найти x_0, x такие, что они удовлетворяют системе и на множестве решений функционал J достигает своего наименьшего значения:

$$\begin{cases} \frac{dx}{dt} = M(x, t), & t \in (0, T) \\ x|_{t=0} = x_0, \\ J(x_0) = \inf_v J(v). \end{cases} \quad (7)$$

По определению

$$J' \delta x_0 = \left(C_1 (x_0 - x_0^b), \delta x_0 \right) + \int_0^T (C_2 (Hx - y^0), H \delta x) dt,$$

где δx удовлетворяет системе TLM (tangent linear model):

$$\begin{cases} \frac{d\delta x}{dt} = M'(x, t) \delta x, & t \in (0, T) \\ \delta x|_{t=0} = \delta x_0. \end{cases} \quad (8)$$

Пусть

$$\begin{cases} -\frac{dx^*}{dt} = (M'(x, t))^* x^* - p, \\ x^*|_{t=T} = 0, \end{cases} \quad (9)$$

где $p = H^* C_2 (Hx - y^0)$. Тогда из соотношения сопряженности

$$\int_0^T (p, \delta x) dt = - (x^*|_{t=0}, \delta x_0)$$

получаем градиент

$$J' \delta x_0 = \left(C_1 (x_0 - x_0^b), \delta x_0 \right) + \int_0^T (p, \delta x) dt = \left(C_1 (x_0 - x_0^b) - x^*|_{t=0}, \delta x_0 \right)$$

Необходимое условие оптимальности (Lions, 1968) приводит задачу к системе для трех неизвестных x_0 , x , x^* :

$$\begin{cases} \frac{dx}{dt} = M(x, t), & t \in (0, T) \\ x|_{t=0} = x_0, \end{cases} \quad (10)$$

$$\begin{cases} -\frac{dx^*}{dt} = (M'(x, t))^* x^* - H^* C_2 (Hx - y^0), \\ x^*|_{t=T} = 0, \end{cases} \quad (11)$$

$$C_1 (x_0 - x_0^b) - x^*|_{t=0} = 0, \quad (12)$$

где $(M'(x, t))^*$ – оператор, сопряженный к производной оператора модели M .

Эта система может быть получена также из принципа максимума Понтрягина, сформулированного для исходной задачи минимизации (Marchuk, Zalesny, 1993), или методом множителей Лагранжа (Евтушенко Ю.Г. и др., 1997).

Численное решение задач вариационной ассимиляции осуществляется в настоящее время известными алгоритмами оптимизации, разработанными в классических трудах (Красовский Н.Н., 1969; Ж. Лионс, 1968; Моисеев Н.Н., 1971; Черноусько Ф.Л. и Баничук В.П., 1973; Самарский А.А., 1997; Васильев Ф.П., 1988; Р. Федоренко, 1978; Евтушенко Ю.Г., 1982; и др.). Ряд новых итерационных алгоритмов решения задач об усвоении данных с использованием сопряженных уравнений предложены в работах В.И. Агошкова и Г.И. Марчука (1993), Г.И. Марчука и В.Б. Залесного (1993), В.П. Шутяева (2001), Агошкова В.И., Пармузина Е.И., Шутяева В.П. (2008) и др.

Для построения численного алгоритма решения задачи об усвоении данных можно использовать известные методы минимизации, либо решать систему оптимальности. При численном решении задачи часто необходимо вычислять градиент исходного функционала J . Это можно делать с помощью выбранной подходящим образом сопряженной задачи. В нашем примере градиент функционала вычисляется следующим образом: при заданном v находим последовательно решения прямой и сопряженной задач:

$$\begin{cases} \frac{dx}{dt} = M(x, t), & t \in (0, T) \\ x|_{t=0} = v, \end{cases} \quad (13)$$

$$\begin{cases} -\frac{dx^*}{dt} = (M'(x, t))^* x^* - H^* C_2 (Hx - y^0), \\ x^*|_{t=T} = 0 \end{cases} \quad (14)$$

и полагаем

$$J'(v) = C_1 (v - x_0^b) - x^*|_{t=0}. \quad (15)$$

Алгоритмы четырехмерного усвоения данных (Bennett, 1991; Kalney E., 2003; Daley, 1991) представляются в настоящее время наиболее эффективными. В последние годы появилось много работ по сравнению ансамблевого метода Калмана и вариационного усвоения данных (Kalnay et al., 2007; Caya et al., 2005; Fertig et al., 2007; Zhang et al., 2009), кроме того появился так называемый гибридный подход, сочетающий в себе ансамблевый метод и вариационную ассимиляцию данных (Kalnay et al., 2007; Caya et al., 2005; Fertig et al., 2007; Tian et al., 2008; Zhang et al., 2009), а также ансамблевый метод 4D-Var (Talagrand, Jardak, 2012) .

$$\begin{aligned} \frac{d\vec{u}}{dt} + \begin{bmatrix} 0 & -f \\ f & 0 \end{bmatrix} \vec{u} - g \cdot \text{grad}\xi + A_u \vec{u} + (A_k)^2 \vec{u} = \\ = \vec{f} - \frac{1}{\rho_0} \text{grad} P_a - \frac{g}{\rho_0} \text{grad} \int_0^z \rho_1(T, S) dz', \end{aligned}$$

$$\frac{\partial \xi}{\partial t} - m \frac{\partial}{\partial x} \left(\int_0^H \Theta(z) u dz \right) - m \frac{\partial}{\partial y} \left(\int_0^H \Theta(z) \frac{n}{m} v dz \right) = f_3,$$

$$\frac{dT}{dt} + A_T T = f_T, \quad \frac{dS}{dt} + A_S S = f_S,$$

где

$$\vec{f} = g \cdot \text{grad} G, \quad \Theta(z) \equiv \frac{r^2(z)}{R^2}, \quad r = R - z, \quad 0 < z < H.$$

$$\left\{ \begin{array}{l} \left(\int_0^H \Theta \vec{u} dz \right) \vec{n} + \beta_0 m_{op} \sqrt{gH} \xi = m_{op} \sqrt{gH} d_S \text{ на } \partial\Omega, \\ U_n^{(-)} u - \nu \frac{\partial u}{\partial z} - k_{33} \frac{\partial}{\partial z} A_k u = \tau_x^{(a)} / \rho_0, \quad U_n^{(-)} v - \nu \frac{\partial v}{\partial z} - k_{33} \frac{\partial}{\partial z} A_k v = \tau_y^{(a)} \\ A_k u = 0, \quad A_k v = 0, \\ U_n^{(-)} T - \nu_T \frac{\partial T}{\partial z} + \gamma_T (T - T_a) = Q_T + U_n^{(-)} d_T, \\ U_n^{(-)} S - \nu_S \frac{\partial S}{\partial z} + \gamma_S (S - S_a) = Q_S + U_n^{(-)} d_S, \end{array} \right.$$

где $\vec{U} = (u, v, w) \equiv (\vec{u}, w)$, $U_n^{(-)} = (|U_n| - U_n)/2$.

Граничные функции d_T , d_S or Q_T , Q_S тоже могут быть неизвестными.

Получив решение системы $\phi = (u, v, \xi, T, S)$ можно вычислить остальные параметры системы

$$w(x, y, z, t) = \frac{1}{r} \left(m \frac{\partial}{\partial x} \left(\int_z^H r u dz' \right) + m \frac{\partial}{\partial y} \left(\frac{n}{m} \int_z^H r v dz' \right) \right), (x, y, t) \in \Omega \times (0, \bar{t}),$$

$$P(x, y, z, t) = P_a(x, y, t) + \rho_0 g(z - \xi) + \int_0^z g \rho_1(T, S) dz'.$$

Рассматриваются устойчивые неявные алгоритмы

$$\frac{\partial \varphi}{\partial t} + (A_1 \varphi + A_3 \varphi + \dots + A_n \varphi) = 0, \quad \varphi(0) = \varphi^0, \quad A_i \geq 0$$

$$\left\{ \begin{array}{l} \frac{\partial \varphi^{j+1/n}}{\partial t} + A_1 \varphi^{j+1/n} = 0, \quad \varphi^{j+1/n} = \varphi^0 \\ \text{-----} \\ \frac{\partial \varphi^{j+1}}{\partial t} + A_n \varphi^{j+1} = 0, \quad \varphi^{j+1} = \varphi^{j+(n-1)/n} \end{array} \right.$$

Шаг 1.

$$\left\{ \begin{array}{l} T_t + (\bar{U}, \mathbf{Grad})T - \mathbf{Div}(\hat{\alpha}_T \cdot \mathbf{Grad} T) = f_T \text{ в } D \times (t_{j-1}, t_j), \\ T = T_{j-1} \text{ при } t = t_{j-1} \text{ в } D, \\ \bar{U}_n^{(-)} T - \nu_T \frac{\partial T}{\partial z} + \gamma_T (T - T_a) = Q_T + \bar{U}_n^{(-)} d_T \text{ на } \Gamma_S \times (t_{j-1}, t_j), \\ \frac{\partial T}{\partial N_T} = 0 \text{ на } \Gamma_{w,c} \times (t_{j-1}, t_j), \\ \bar{U}_n^{(-)} T + \frac{\partial T}{\partial N_T} = \bar{U}_n^{(-)} d_T + Q_T \text{ на } \Gamma_{w,op} \times (t_{j-1}, t_j), \\ \frac{\partial T}{\partial N_T} = 0 \text{ на } \Gamma_H \times (t_{j-1}, t_j), \\ T_j \equiv T \text{ на } D \times (t_{j-1}, t_j), \end{array} \right.$$

Шаг 2.

$$\left\{ \begin{array}{l} S_t + (\bar{U}, \mathbf{Grad})S - \mathbf{Div}(\hat{\alpha}_S \cdot \mathbf{Grad} S) = f_S \text{ в } D \times (t_{j-1}, t_j), \\ S = S_{j-1} \text{ при } t = t_{j-1} \text{ в } D, \\ \bar{U}_n^{(-)} S - \nu_S \frac{\partial S}{\partial z} + \gamma_S (S - S_a) = Q_S + \bar{U}_n^{(-)} d_S \text{ на } \Gamma_S \times (t_{j-1}, t_j), \\ \frac{\partial S}{\partial N_S} = 0 \text{ на } \Gamma_{w,c} \times (t_{j-1}, t_j), \\ \bar{U}_n^{(-)} S + \frac{\partial S}{\partial N_S} = \bar{U}_n^{(-)} d_S + Q_S \text{ on } \Gamma_{w,op} \times (t_{j-1}, t_j), \\ \frac{\partial S}{\partial N_S} = 0 \text{ на } \Gamma_H \times (t_{j-1}, t_j), \\ S_j \equiv S \text{ в } D \times (t_{j-1}, t_j). \end{array} \right.$$

Схема расщепления. Скорости.

Шаг 3.

$$\left\{ \begin{array}{l} \underline{u}_t^{(3)} + (\bar{U}, \mathbf{Grad}) \underline{u}^{(3)} - \mathbf{Div}(\hat{a}_u \cdot \mathbf{Grad}) \underline{u}^{(3)} + (A_k)^2 \underline{u}^{(3)} = 0 \text{ в } D \times (t_{j-1}, t_j), \\ \underline{u}^{(3)} = \underline{u}^{(2)} \text{ при } t = t_{j-1} \text{ в } D, \\ \bar{U}_n^{(-)} \underline{u}^{(3)} - \nu_u \frac{\partial \underline{u}^{(3)}}{\partial z} - k_{33} \frac{\partial}{\partial z} (A_k \underline{u}^{(3)}) = \frac{\tau^{(a)}}{\rho_0}, A_k \underline{u}^{(3)} = 0 \text{ на } \Gamma_S \times (t_{j-1}, t_j), \\ U_n^{(3)} = 0, \frac{\partial U^{(3)}}{\partial N_u} \cdot \bar{\tau}_w + \left(\frac{\partial}{\partial N_k} A_k \underline{u}^{(3)} \right) \cdot \bar{\tau}_w = 0, A_k \underline{u}^{(3)} = 0 \text{ на } \Gamma_{w,c} \times (t_{j-1}, t_j), \\ \bar{U}_n^{(-)} (\tilde{U}^{(3)} \cdot \bar{N}) + \frac{\partial \tilde{U}^{(3)}}{\partial N_u} \cdot \bar{N} + \left(\frac{\partial}{\partial N_k} A_k \underline{u}^{(3)} \right) \cdot \bar{N} = \bar{U}_n^{(-)} d, A_k \underline{u}^{(3)} = 0 \text{ на } \Gamma_{w,op} \times (t_{j-1}, t_j), \\ \bar{U}_n^{(-)} (\tilde{U}^{(3)} \cdot \bar{\tau}_w) + \frac{\partial \tilde{U}^{(3)}}{\partial N_u} \cdot \bar{\tau}_w + \left(\frac{\partial}{\partial N_k} A_k \underline{u}^{(3)} \right) \cdot \bar{\tau}_w = 0, A_k \underline{u}^{(3)} = 0 \text{ на } \Gamma_{w,op} \times (t_{j-1}, t_j), \\ \frac{\partial \underline{u}^{(3)}}{\partial N_u} = \frac{\tau^{(b)}}{\rho_0} \text{ на } \Gamma_H \times (t_{j-1}, t_j), \end{array} \right.$$

где

$$\begin{aligned} \underline{u}^{(3)} &= (u^{(3)}, v^{(3)}), \quad \tau^{(a)} = (\tau_x^{(a)}, \tau_y^{(a)}), \\ U^{(3)} &= (u^{(3)}, w^{(3)}(u^{(3)}, v^{(3)})), \quad \tilde{U}^{(3)} = (u^{(3)}, 0), \quad \tau^{(b)} = (\tau_x^{(b)}, \tau_y^{(b)}). \end{aligned}$$

Расщепление температурного блока

Рассматриваем уравнение для температуры T в операторной форме

$$(T)_t + LT = \mathcal{F} + BQ, \quad t \in (t_{j-1}, t_j),$$
$$T = T_{j-1}, \quad j = 1, 2, \dots, J,$$

дальнейшее применение схемы расщепления приводит к следующим шагам:

Шаг 1.1:

$$(T_1)_t + L_1 T_1 = \mathcal{F}_1, \quad t \in (t_{j-1}, t_j),$$
$$T_1 = T_{j-1} \quad \text{при} \quad t = t_{j-1}$$

Шаг 1.2:

$$(T_2)_t + L_2 T_2 = \mathcal{F}_2 + BQ, \quad t \in (t_{j-1}, t_j),$$
$$T_2(t_{j-1}) = T_1(t_j).$$
$$T_2(t_j) \equiv T_j \cong T \quad \text{при} \quad t = t_j.$$

Задача для температуры

$$\left\{ \begin{array}{l} T_t + (\bar{U}, \mathbf{Grad})T - \mathbf{Div}(\hat{\alpha}_T \cdot \mathbf{Grad} T) = f_T \text{ в } D \times (t_{j-1}, t_j), \\ T = T_{j-1} \text{ при } t = t_{j-1} \text{ в } D, \\ -\nu_T \frac{\partial T}{\partial z} = Q \text{ на } \Gamma_S \times (t_{j-1}, t_j), \\ \frac{\partial T}{\partial N_T} = 0 \text{ на } \Gamma_{w,c} \times (t_{j-1}, t_j), \\ \bar{U}_n^{(-)} T + \frac{\partial T}{\partial N_T} = \bar{U}_n^{(-)} d_T + Q_T \text{ на } \Gamma_{w,op} \times (t_{j-1}, t_j), \\ \frac{\partial T}{\partial N_T} = 0 \text{ на } \Gamma_H \times (t_{j-1}, t_j), \\ T_j \equiv T \text{ на } D \times (t_{j-1}, t_j). \end{array} \right.$$

Пусть дополнительной неизвестной (“управлением”) является функция полного потока Q . Введем функционал стоимости вида:

$$J_\alpha \equiv J_\alpha(Q, \phi) = \frac{1}{2} \int_0^{\bar{t}} \int_\Omega \alpha |Q - Q^{(0)}|^2 d\Omega dt + J_0(\phi),$$
$$J_0(\phi) = \frac{1}{2} \int_0^{\bar{t}} \int_\Omega m_0 |T - T_{obs}|^2 d\Omega dt.$$

Здесь: $\alpha \equiv \alpha(\lambda, \theta, t)$ – функция, играющая роль регуляризатора (возможен случай, когда $\alpha(\lambda, \theta, t) = \text{const} \geq 0$) и которая может быть размерной величиной, а $Q^{(0)} \equiv Q^{(0)}(\lambda, \theta, t)$ – заданная функция (которая может быть также и тривиальной).

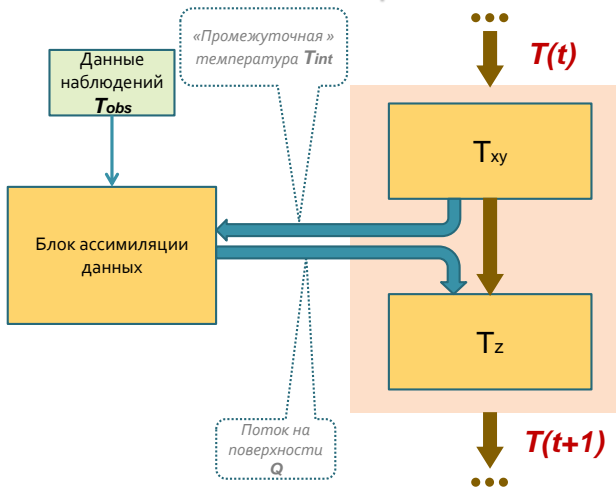
Задача вариационной ассимиляции формулируется следующим образом: *требуется найти решение ϕ Задачи и функцию Q , такие, чтобы на них функционал принимал наименьшее значение.*

$$\left\{ \begin{array}{l} T_t + \frac{1}{2} \left(w_1 \frac{\partial T}{\partial z} + \frac{1}{r^2} \frac{\partial (r^2 w_1 T)}{\partial z} \right) - \frac{1}{r^2} \frac{\partial}{\partial z} r^2 \nu_T \frac{\partial T}{\partial z} = f_T, \quad T = T_1(t_j) \\ -\nu_T \frac{\partial T}{\partial z} \Big|_{z=0} = Q, \quad \nu_T \frac{\partial T}{\partial z} \Big|_{z=H} = 0, \end{array} \right.$$

$$\left\{ \begin{array}{l} T_t^* - \frac{1}{2} \left(w_1 \frac{\partial T^*}{\partial z} + \frac{1}{r^2} \frac{\partial (r^2 w_1 T^*)}{\partial z} \right) - \frac{1}{r^2} \frac{\partial}{\partial z} \left(r^2 \nu_T \frac{\partial T^*}{\partial z} \right) = 0 \\ \nu_T \frac{\partial T^*}{\partial z} \Big|_{z=H} = 0, \quad \left(-w_1 T^* - \nu_T \frac{\partial T^*}{\partial z} \right) \Big|_{z=0} = m_0 (T - T_{\text{obs}}), \end{array} \right.$$

$$\alpha_0 (Q - Q^{(0)}) + T^* = 0$$

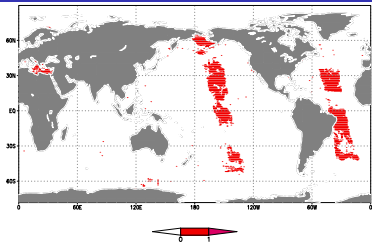
Схема ассимиляции



Параметры расчетной области:

- сетка $360 \times 337 \times 40$ точек (широта \times долгота \times глубина);
- первая точка сетки – 22.5 (градусов восточной долготы) и 78.25 (градусов южной широты).
- Шаги сетки по x и по y 1.0 и 0.5 градуса.
- Шаг по времени $\Delta t = 1$ час.
- В качестве T_{obs} использовались данные поверхностной температуры Мирового океана, представленные Лебедевым С.А. (ГЦ РАН) на сетке модели, за январь 2004 г. в каждый момент времени на рассматриваемой сетке (т.е. каждый час).
- В качестве $Q^{(0)}$ использовался среднеклиматический поток за январь 2004 г., полученный по данным реанализа NCEP (National Centers for Environmental Prediction).
- Расчет включал в себя ассимиляцию T_{obs} и расчет сроком до 30 суток (январь 2004 г.).

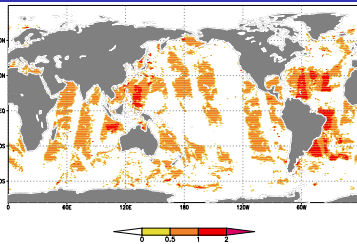
Данные наблюдений. Мировой океан



CMR: CDA/RES

2008-12-17-13:30

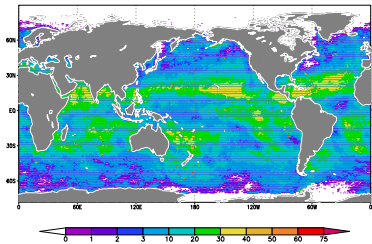
(а) Количество данных за час



CMR: CDA/RES

2008-12-17-13:30

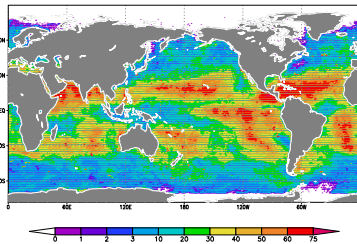
(б) Количество данные за 6 часов



CMR: CDA/RES

2008-12-22-13:30

(с) Количество данные за 15 дней

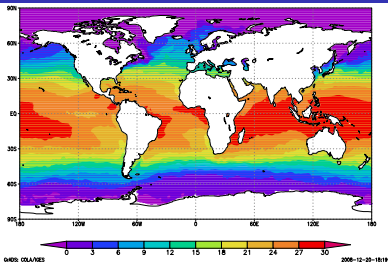


CMR: CDA/RES

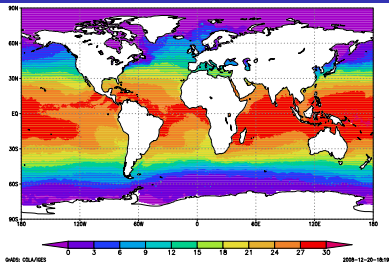
2008-12-22-13:30

(д) Количество данные за 1 месяц

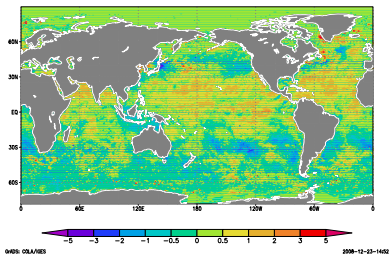
Численный эксперимент. МО



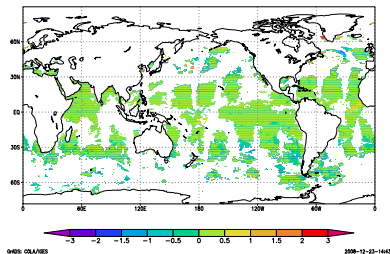
(a) SST. Расчет без блока усвоения



(b) SST. Расчет с блоком усвоения

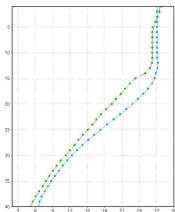


(c) $T_{model} - T_{assim}$



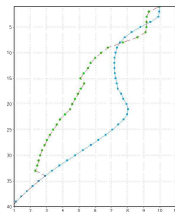
(d) Отклонение T_{assim} от данных наблюдений (усреднение за 20 часов)

Усвоение данных с буев ARGO



ARGO_OBA/NE3

(a) 120 в.д., 10 с.ш.

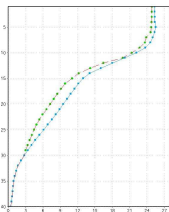


2010-12-04-15:32

ARGO_OBA/NE3

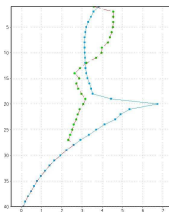
2010-12-04-15:38

(b) 180 з.д., 50 ю.ш.



ARGO_OBA/NE3

(c) 120 з.д., 10 ю.ш.



2010-12-04-15:36

ARGO_OBA/NE3

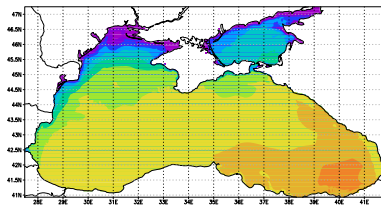
2010-12-04-15:25

(d) 120 з.д., 60 ю.ш.

Параметры расчетной области:

- сетка $286 \times 159 \times 27$ точек (широта \times долгота \times глубина);
- первая точка сетки 27.475° восточной долготы и 40.93° северной широты.
- Шаги сетки по x и по y 0.05 и 0.04 градуса.
- Шаг по времени $\Delta t = 5$ минут.
- В качестве T_{obs} использовались данные поверхностной температуры Черного океана, представленные Лебедевым С.А. (ГЦ РАН) интерполированные на сетку модели Захаровой Н.Б. (ИВМ РАН), за январь 2008 г. в каждый момент времени на рассматриваемой сетке (т.е. каждый час).
- В качестве $Q^{(0)}$ использовался среднеклиматический поток за январь 2008 г., полученный по данным реанализа NCEP (National Centers for Environmental Prediction).
- Расчет включал в себя ассимиляцию T_{obs} и расчет сроком от 3 суток до 10 дней (январь-февраль 2008 г.).

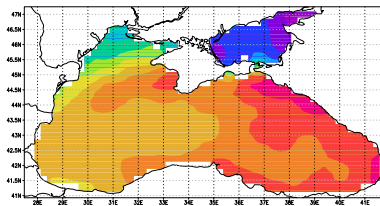
Вариационная ассимиляция. Черное море



0400 COLA/RES

2011-10-31-1804

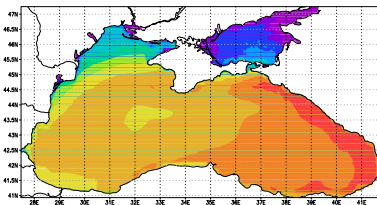
(a) Без усвоения среднее за 1 день



0400 COLA/RES

2011-10-31-1801

(b) Данные наблюдений (среднее за 1 день)

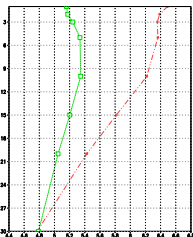


0400 COLA/RES

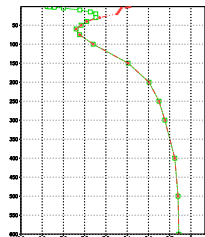
2011-10-31-1801

(c) С усвоением (среднее за 1 день)

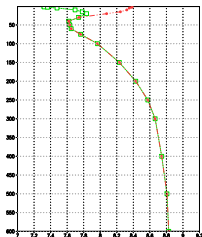
Профили температуры при ассимиляции ТПМ



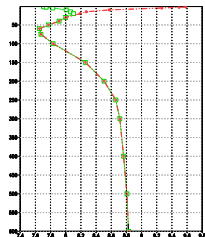
(a) 30° в.д., 45° с.ш.



(b) 32° в.д., 44° с.ш.

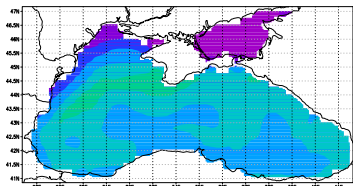


(c) 35° в.д., 43.5° с.ш.



(d) 38° в.д., 43° с.ш.

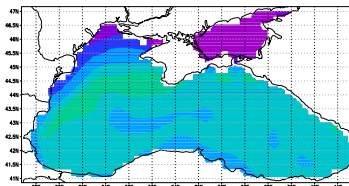
Данные GHRSSST – Group for High Resolution Sea Surface Temperature



0400 COLA/ICES

2014-02-01-17:48

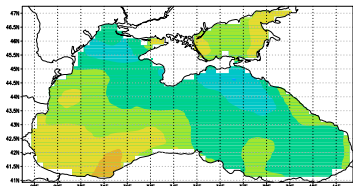
(a) 1 февраля



0400 COLA/ICES

2014-02-02-17:50

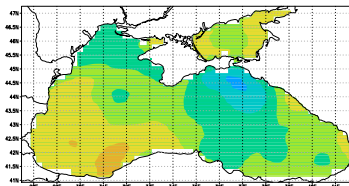
(b) 2 февраля



0400 COLA/ICES

2014-06-02-18:19

(c) 2 июня



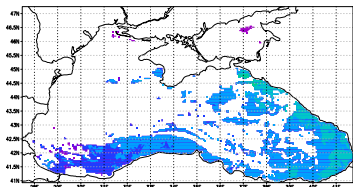
0400 COLA/ICES

2014-06-03-18:19

(d) 3 июня

Верификация ассимиляция. 2 источника данных

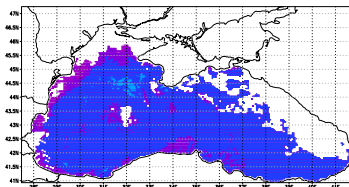
Данные морского портала МГИ (Севастополь)



0400 COLA/MS

2014-01-06-17:53

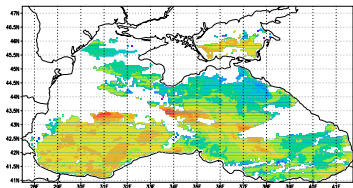
(a) 2 января, 11:10



0400 COLA/MS

2014-02-09-16:03

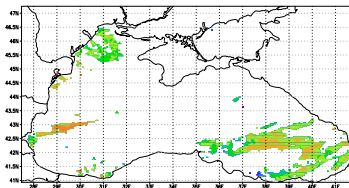
(b) 2 февраля, 10:05



0400 COLA/MS

2014-06-01-18:52

(c) 1 июня, 11:02

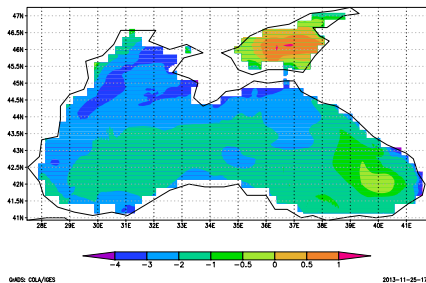


0400 COLA/MS

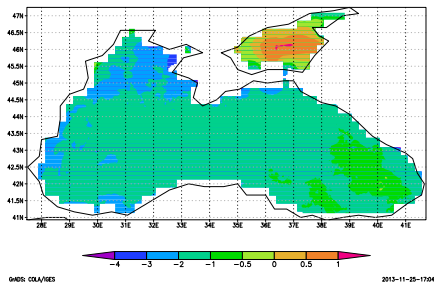
2014-06-01-18:54

(d) 1 июня, 19:27

Результаты численных расчетов



(a) Разность $T_{GHRSSST} - T_{model}$. Расчет на 10 дней



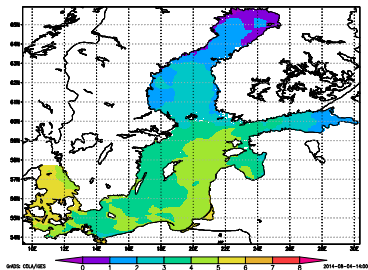
(b) Разность $T_{GHRSSST} - T_{assim}$. Расчет на 10 дней

Рис.: Разность ТПМ (средние значения за период расчета). Февраль 2008

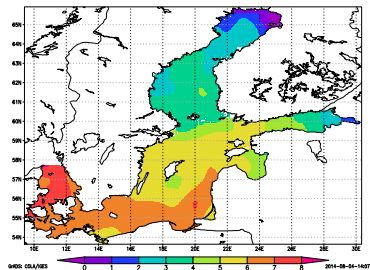
Параметры расчетной области:

- сетка $336 \times 394 \times 27$ точек (широта \times долгота \times глубина);
- первая точка сетки 9.375° в.д. и 53.625° с.ш.
- Шаги сетки по x и по y 0.0625 и 0.03125 градуса.
- Шаг по времени $\Delta t = 5$ минут.
- В качестве T_{obs} использовались среднесуточные данные температуры поверхности Балтийского моря Датского метеорологического института, подготовленные основе измерений радиометров (AVHRR, AATSR и AMSRE) и спектрорадиометров (SEVIRI и MODIS).
- В качестве $Q^{(0)}$ использовался среднеклиматический поток за январь 2008 г., полученный по данным реанализа NCEP (National Centers for Environmental Prediction).
- Расчет включал в себя ассимиляцию T_{obs} и расчет сроком на 5 суток (январь 2008 г.).

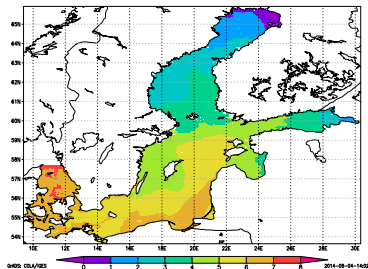
Результаты ассимиляции ТПМ



(a) Без усвоения

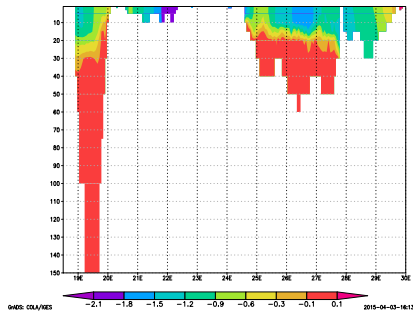


(b) Данные наблюдений

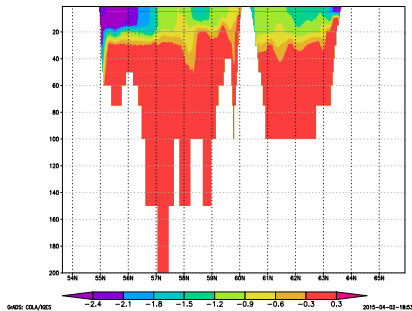


(c) С усвоением

Вертикальные разрезы в акватории Балтийского моря



(a) Разрез по 60° северной широты



(b) Разрез по 20° восточной долготы

Рис.: Разность $T_{model} - T_{assim}$

Спасибо за внимание!